



## بررسی عددی جابجایی طبیعی نانو سیال در محفظه مربعی با منبع حرارتی مرکزی و ارائه روابطی برای محاسبه عدد ناسلت

قنبعلی شیخزاده<sup>۱\*</sup>، حمیدرضا احترام<sup>۲</sup>، علیرضا آقایی<sup>۲</sup>

۱- دانشیار مهندسی مکانیک، دانشگاه کاشان، کاشان

۲- دانشجوی کارشناسی ارشد مهندسی مکانیک، دانشگاه کاشان، کاشان

\* کاشان، صندوق پستی ۵۱۶۷، ۸۷۳۱۷-۵۱۶۷

sheikhz@kashanu.ac.ir

**چکیده-** هدف از مطالعه حاضر، بررسی عددی جابجایی طبیعی نانو سیال های مختلف داخل یک محفظه مربعی با منبع حرارتی مرکزی در نسبت های منظری مختلف و به دست آوردن روابطی برای عدد ناسلت بر حسب عدد رایلی و کسر حجمی نانوذرات می باشد. منبع حرارتی در دمای  $T_h$  و دیواره محفظه در دمای  $T_c$  می باشد. نانو سیال ها بر پایه آب با نانوذرات مس، اکسید مس، نقره، اکسید آلومینیم و یا اکسید تیتانیوم در نظر گرفته شده اند. برای تحلیل جابجایی طبیعی از یک برنامه کامپیووتری به زبان فرتون بر اساس روش حجم محدود و الگوریتم سیمپلر استفاده شده است. مطالعه برای نسبت منظری  $0.2$  تا  $0.8$ ، عدد رایلی  $10^3$  تا  $10^6$  و کسر حجمی نانوذرات تا حداقل کسر حجمی  $0.05$  انجام شده است. نتایج عددی نشان می دهد که عدد ناسلت با افزایش کسر حجمی نانوذرات و افزایش نسبت منظری زیاد می شود. با افزایش عدد رایلی در فضای بالایی بین منبع و دیواره محفظه گردابه هایی از نوع رایلی- بنارد ایجاد می شود. براساس نتایج عددی حاصل، روابط همبسته با دقت بسیار خوبی برای ارزیابی عدد ناسلت ارائه شده است.

**کلیدواژگان:** حل عددی، نانو سیال، جابجایی طبیعی، محفظه، عدد ناسلت متوسط.

## Numerical study of natural convection in a nanofluid filled enclosure with central heat source and presenting correlations for Nusselt number

G. A. Sheikhzadeh<sup>1\*</sup>, H. Ehteram<sup>2</sup>, A. Aghaei<sup>2</sup>

1- Assoc. Prof., Mech. Eng., Kashan Univ., Kashan, Iran

2- MSc. Student, Mech. Eng., Kashan Univ., Kashan, Iran

\* P.O.B. 87317-51167, Kashan, Iran. sheikhz@kashanu.ac.ir

**Abstract-** The present study aims to investigate numerically the natural convection of various nanofluids inside a square enclosure with a central heat source at different aspect ratio. Also, some correlations are presented in order to calculate the Nusselt number in terms of Rayleigh number and volume fraction of nanoparticles. The heat source and cavity walls are kept at constant temperatures of  $T_h$  and  $T_c$ , respectively. The nanofluids are considered to be water as the base fluid and different nanoparticles such as Cu, CuO, Ag, Al<sub>2</sub>O<sub>3</sub>, or TiO<sub>2</sub>. To discretize the governing equations, the control volume method and SIMPLEL algorithm have been employed. The study has been carried out for aspect ratios from 0.2 to 0.8, Rayleigh numbers from  $10^3$  to  $10^6$  and the volume fractions of nanoparticles ranging in 0-0.05. The results indicated that the Nusselt number increases with increasing the volume fraction of nanoparticles as well as the aspect ratio. Furthermore, by increasing the Rayleigh number, some eddies, of kind of Rayleigh-Benard, are developed in the space between the heat source and the upper wall of the enclosure. Based on the obtained results, several correlations with high accuracy have been present in order to evaluate the Nusselt number.

**Keywords:** Numerical Study, Nanofluid, Natural Convection, Enclosure, Average Nusselt Number.

راستای قائم روی می‌دهد. آگوت [۵]، جابجایی طبیعی نانوسيال‌های مختلف با سیال پایه آب را در یک محفظه زاویدار با گرمایش موضعی مورد بررسی قرار داد. براساس یافته‌های او با افزایش کسر حجمی نانوذرات انتقال حرارت جابجایی طبیعی افزایش می‌یابد و نانوذرات نقره و مس، افزایش بیشتری در انتقال حرارت جابجایی طبیعی را سبب می‌شوند. در زوایای کوچک با افزایش طول گرمکننده، میزان انتقال حرارت جابجایی طبیعی کاهش می‌یابد. همچنین او بیان نمود که بیشترین میزان انتقال حرارت جابجایی طبیعی در زاویه  $30^{\circ}$  رخ می‌دهد.

خانافر و همکاران [۶] اثر کاربرد نانوسيال را در یک حفره بر افزایش انتقال حرارت بررسی کردند. آنها برای محاسبه خواص نانوسيال مدل‌های مختلفی را مورد استفاده قرار دادند. بر اساس نتایج آنها در هر عدد گراشی با افزایش کسر حجمی نانوذرات، انتقال حرارت افزایش می‌یابد. هو و همکاران [۷] مطالعه‌ای عددی با روش حجم محدود برای انتقال حرارت جابجایی آزاد آب-اکسید آلومینیم در محفظه‌ای مربعی با دیواره‌های افقی عایق و دیواره‌های قائم گرم و سرد انجام دادند. بر اساس یافته‌های آنان انتخاب مدل‌های مختلف برای لزجت مقادیر متفاوتی برای عدد ناسلت پیش‌بینی می‌کند. از تپ ابوندا [۸]، جریان سیال و انتقال حرارت جابجایی طبیعی را در یک حفره گرم شده را که با نانوسيال‌ها با نانوذرات مختلف پرشده بود بررسی کردند. براساس یافته‌های آنان با کاربرد نانوسيال در نسبت‌های منظری کم افزایش بیشتری در انتقال حرارت نسبت به نسبت‌های منظری بزرگ‌تر حاصل می‌شود.

محمودی و هاشمی [۹] جریان سیال و انتقال حرارت جابجایی طبیعی نانوسيال آب-مس را در یک محفظه C-شکل در نسبت‌های منظری و اعداد رایلی مختلف بررسی نمودند. بر اساس نتایج آنها عدد ناسلت متوسط با افزایش عدد رایلی و کسر حجمی نانوذرات افزایش می‌یابد. همچنین آنها گزارش کردند که در یک نسبت منظری ثابت با افزایش عدد رایلی نرخ انتقال حرارت افزایش می‌یابد. امین‌الساداتی و قاسمی [۱۰] جابجایی طبیعی نانوسيال آب-اکسید مس را در اعداد گراش و کسر حجمی‌های مختلف در محفظه‌ای مربعی با گرمایش موضعی به صورت عددی بررسی کردند. بر اساس نتایج آنها با افزایش عدد رایلی و کسر حجمی نانوذرات عدد ناسلت

## ۱- مقدمه

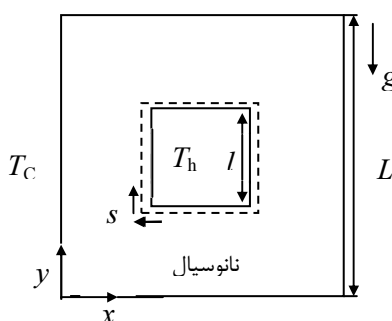
انتقال حرارت جابجایی طبیعی، به علت ساده بودن فرآیند، صرفه اقتصادی، صدای کم و بازیابی مجدد، در شاخه‌های مختلف صنعت مانند صنایع برودتی، دستگاه‌های ترانسفورماتور الکتریکی و سیستم‌های تهویه مطبوع کاربرد فراوانی دارد. همچنین در تجهیزات صنعتی گوناگون مثل قطعات الکترونیکی، مبدل‌های حرارتی، کلکتورهای خورشیدی و دیگر موارد مشابه، انتقال حرارت جابجایی طبیعی به کار می‌رود. همواره دستیابی به وسایلی با ابعاد کوچک‌تر، سبک‌تر و بازده بیشتر برای انتقال حرارت مطلوب بوده است. استفاده از سطح بیشتر یکی از روش‌های مناسب جهت افزایش انتقال حرارت است ولی این روش در تمام ابزارهای الکترونیکی قابل کاربرد نیست. سیال‌های مورد استفاده در انتقال حرارت جابجایی طبیعی دارای ضریب انتقال حرارت کمی می‌باشند، لذا استفاده از روش مناسب جهت افزایش ضریب هدایت حرارتی می‌تواند در بهبود انتقال حرارت جابجایی طبیعی مؤثر باشد. با مطرح شدن نانوسيال‌ها که اغلب ترکیبی از اکسید نانوذرات فلزی با سیالات پایه‌ای مثل آب، روغن و اتیلن گلیکول می‌باشند، دستیابی به این منظور میسر شده است [۱].

قبل از معرفی نانوسيال‌ها، استفاده از ذرات در ابعاد میلی‌متر و میکرومتر که منجر به افزایش ضریب هدایت حرارتی سیال می‌شود مورد استفاده قرار گرفته بود. ولی مشکلاتی چون پایداری ضعیف، افت فشار بالا و غیره، باعث شد استفاده از این شیوه چندان عملی نباشد [۲]. جهانشاھی و همکاران [۳]، مطالعه‌ای تجربی و عددی با روش حجم محدود برای بررسی انتقال حرارت جابجایی آزاد آب-اکسید سیلیسیم در محفظه‌ای مربعی با دیواره‌های قائم گرم و سرد و دیواره‌های افقی عایق انجام دادند. بر اساس یافته‌های آنان عدد ناسلت متوسط در تمامی اعداد رایلی با افزایش کسر حجمی نانوذرات افزایش می‌یابد. صالح و همکاران [۴] انتقال حرارت جابجایی طبیعی نانوسيال‌های آب-اکسید آلومینیوم و آب-مس را داخل محفظه ذوزنقه‌ای به صورت عددی بررسی کردند. آنها اثر تغییرات زاویه ساق ذوزنقه با راستای قائم، کسر حجمی نانوذرات و عدد گراش را بررسی نمودند. بر اساس نتایج آنها بیشترین عدد ناسلت متوسط در بالاترین کسر حجمی مورد بررسی (۰/۰۵) برای نانوذره مس و در بیشترین زاویه ساق با

محفظه‌های مربعی هم محور مطالعه کمتری انجام شده است. در بیشتر مطالعات قبلی، نتایج به کارگیری نانوسيال به صورت نمودارهای تغییرات عدد ناسلت در مقادیر مختلف عدد رایلی و کسر حجمی نانوذرات نشان داده شده است و روابطی مناسب برای پیش‌بینی عدد ناسلت ارائه نشده است. در مطالعه حاضر با استفاده از شبیه‌سازی عددی جابجایی طبیعی در داخل محفظه با منبع حرارتی مرکزی، تاثیر به کارگیری نانوسيال بر میدان جریان و انتقال حرارت بررسی شده و بر اساس آن روابطی برای پیش‌بینی ضریب انتقال حرارت بر حسب عدد رایلی و کسر حجمی نانوذرات در نسبت‌های منظری مختلف ارائه می‌شود. این روابط برای نانوسيال‌های مختلف (آب-مس، آب-اکسید مس، آب-نقره، آب-اکسید آلومینیم، آب-اکسید تیتانیوم) با دقت مناسبی به دست می‌آید.

## ۲- معادلات حاکم و شرایط مرزی

نمای شماتیک هندسه مورد بررسی در شکل ۱ نشان داده شده است. ابعاد منبع حرارتی و محفظه به ترتیب برابر  $L$  و  $L$  می‌باشد. نسبت منظری که به صورت  $AR = \frac{L}{I}$  تعریف می‌شود، برابر  $0/2$ ،  $0/5$  و  $0/8$  در نظر گرفته می‌شود. منبع حرارتی در دمای ثابت  $T_h$  و دیوارهای محفظه در دمای ثابت  $T_c$  نگه داشته می‌شود. طول درجهت  $z$  به اندازه‌ای بلند می‌باشد که می‌توان مسئله را دو بعدی فرض کرد. فاصله  $s$  که از گوشه منبع گرم سنجیده می‌شود نیز در شکل ۱ مشخص شده است. محفظه با نانوسيال‌های آب-مس، آب-اکسید مس، آب-نقره، آب-اکسید آلومینیم و آب-اکسید تیتانیوم پر می‌شود. خواص ترموفیزیکی آب به عنوان سیال پایه و نانوذرات مورد استفاده در جدول ۱ ارائه شده است [۱۰، ۱۱].



شکل ۱ نمای شماتیک و شرایط مرزی مسئله

متوجه افزایش می‌یابد.

ابوندا و همکاران [۱۱]، انتقال حرارت جابجایی طبیعی بین دو استوانه هم محور پرشده با نانوسيال را به کمک روش حجم محدود انجام دادند. آنها نانوسيال‌های مختلفی شامل نانوذرات  $\text{TiO}_2$ ،  $\text{Al}_2\text{O}_3$ ،  $\text{Ag}$ ،  $\text{Cu}$ ،  $\text{Fe}$  را بر اساس سیال پایه آب مورد بررسی قرار دادند و نتایج خود را به صورت منحنی تغییرات عدد ناسلت ارائه نمودند. آنها گزارش کردند که در اعداد رایلی و نسبت‌های منظری بزرگ نانوذرات با ضریب هدایت حرارتی بالاتر موجب انتقال حرارت بیشتری می‌شوند ولی در اعداد رایلی متوسط، نانوذرات با ضریب هدایت حرارتی پایین باعث کاهش در انتقال حرارت می‌شوند. عارفمنش و همکاران [۱۲] جریان سیال و انتقال حرارت جابجایی طبیعی نانوسيال آب-اکسید تیتانیوم را در فضای بین دو محفظه هم محور در نسبت‌های منظری و اعداد رایلی مختلف بررسی نمودند. بر اساس نتایج آنها مقدار ضریب انتقال حرارت جابجایی طبیعی بر حسب عدد رایلی با افزایش نسبت منظری و کسر حجمی نانوذرات افزایش می‌یابد.

شیخزاده و همکاران [۱۳] در یک مطالعه عددی برای نانوسيال آب-مس در یک محفظه با وجود منبع گرم و سرد در دیوارهای عمودی آن انجام دادند. آنها رابطه عدد ناسلت را به صورت  $Nu = (0.477\varphi + 0.3554)Ra^{0.25}$  برای حالتی که منابع گرم و سرد در وسط دیوارهای عمودی قرار دارند، در محدوده  $10^0 \leq Ra \leq 10^5$  و  $0 < \varphi < 0.15$  ارائه نمودند. بر اساس یافته‌های آنان عدد ناسلت متوسط کمینه، هنگامی که گرمایش موضعی در دیوارهای طرف راست و چپ محفظه به ترتیب در بالا و پایین باشد، روی می‌دهد. منصور و همکاران [۱۴] در مطالعه تجربی که برای نانوسيال آب-اکسید آلومینیم انجام دادند رابطه عدد ناسلت را به صورت  $Nu = Nu_0(1 - \varphi)^{0.625}(1 + 5.25 \times 10^5 \times Ra)^{0.135}$  برای لوله افقی ارائه نمودند. رابطه آنها برای  $0 < \varphi < 0.4$  و  $10^6 \leq Ra \leq 5 \times 10^5$  می‌باشد. بر اساس یافته‌های آنها با افزایش کسر حجمی نانوذرات از  $0$  تا  $0.2$  عدد ناسلت متوسط کاهش ناچیزی دارد.

با انجام یک بررسی مفصل مشخص می‌شود که برای جابجایی طبیعی در محفظه‌های مربعی مطالعات زیادی انجام شده است ولی در مورد انتقال حرارت نانوسيال‌ها در

$$U \frac{\partial V}{\partial X} + V \frac{\partial V}{\partial Y} = - \frac{\partial P}{\partial Y} + \frac{v_{nf}}{\alpha_f} \left( \frac{\partial^2 V}{\partial X^2} + \frac{\partial^2 V}{\partial Y^2} \right) + \frac{\beta_{nf}}{\beta_f} Ra Pr \theta \quad (9)$$

$$U \frac{\partial \theta}{\partial X} + V \frac{\partial \theta}{\partial Y} = \frac{\alpha_{nf}}{\alpha_f} \left( \frac{\partial^2 \theta}{\partial X^2} + \frac{\partial^2 \theta}{\partial Y^2} \right) \quad (10)$$

که در آن اعداد رایلی و پرانتل از رابطه (۱۱) محاسبه می‌شوند

$$Ra = \frac{g \beta_f L^3 \Delta T}{v_f \alpha_f}, \quad Pr = \frac{v_f}{\alpha_f} \quad (11)$$

تابع جریان بی‌بعد نیز از رابطه (۱۲) به دست می‌آید.

$$\Psi(X, Y) = \int U dY + \Psi_0 \quad (12)$$

با توجه به هندسه مسئله، شرایط مرزی بی‌بعد با رابطه (۱۳) بیان می‌شوند.

$$U = V = 0, \theta = 1 \quad \text{روی منبع حرارتی}$$

$$U = V = 0, \theta = 0 \quad \text{روی محفظه خارجی} \quad (13)$$

خواص نانوسيال شامل لزجت [۱۶]، ضریب هدایت حرارتی [۱۷]، چگالی، ظرفیت گرمایی، ضریب انبساط حجمی و ضریب پخش به ترتیب از روابط (۱۴-۱۹) محاسبه می‌شوند.

$$\mu_{nf} = \frac{\mu_f}{(1-\varphi)^{2.5}} \quad (14)$$

$$k_{nf} = \frac{k_f (k_s + 2k_f - 2\varphi(k_f - k_s))}{(k_s + 2k_f + \varphi(k_f - k_s))} \quad (15)$$

$$\rho_{nf} = (1-\varphi)\rho_f + \varphi\rho_p \quad (16)$$

$$(\rho c_p)_{nf} = (1-\varphi)(\rho c_p)_f + \varphi(\rho c_p)_p \quad (17)$$

$$\beta_{nf} = \frac{(1-\varphi)(\rho\beta)_f + \varphi(\rho\beta)_p}{(1-\varphi)\rho_f + \varphi\rho_p} \quad (18)$$

$$\alpha_{nf} = \frac{k_{nf}}{(\rho c_p)_{nf}} \quad (19)$$

ضریب انتقال حرارت جابجایی از رابطه (۲۰) به دست می‌آید

$$h_{nf} = \frac{q}{T_h - T_c} \quad (20)$$

عدد ناسلت که طول مشخصه‌ی آن بر اساس اندازه‌ی ضلع محفظه سنجیده می‌شود، از رابطه (۲۱) محاسبه می‌شود.

$$Nu = \frac{h_{nf} L}{k_f} \quad (21)$$

شار حرارتی روی دیواره‌های گرم از رابطه (۲۲) به دست می‌آید.

$$q = -k_{nf} \frac{T_h - T_c}{L} \frac{\partial \theta}{\partial n} \Big|_{\text{wall}} \quad (22)$$

جدول ۱ خواص ترموفیزیکی سیال پایه (در دمای K ۳۰۰) و نانوذرات [۱۱، ۱۰]

آب (سیال پایه)	TiO <sub>2</sub>	Al <sub>2</sub> O <sub>3</sub>	Ag	CuO	Cu	خواص فیزیکی
۴۱۷۹	۶۸۶/۲	۷۶۵	۲۳۵	۵۲۵/۶	۲۸۵	$c_p$ (J/kg-K)
۹۹۷/۱	۴۲۵۰	۳۹۷۰	۱۰۵۰۰	۶۳۲۰	۸۹۳۳	$\rho$ (kg/m <sup>3</sup> )
۰/۶۱۳	۸/۹۵۳۸	۲۵	۴۲۹	۷۶/۵	۴۰۱	$k$ (w/mK)
۲۱	۰/۹	۰/۸۵	۱/۸۹	۱/۸	۱/۶۷	$\beta \times 10^{-5}$ (K <sup>-1</sup> )
۰/۰۱۰۰۳	-	-	-	-	-	$\mu$ (kg/ms)

خواص نانوسيال‌های مورد استفاده به جز چگالی که تغییرات آن متناسب با تقریب بوزینسک منظور شده، ثابت فرض می‌شوند [۱۵].

معادلات حاکم شامل بقای جرم (۱)، بقای مومنت در راستای x (۲)، راستای y (۳) و بقای انرژی (۴) برای جریان دو بعدی، دائم و آرام از روابط (۱) تا (۴) محاسبه می‌شوند.

$$\frac{\partial u}{\partial x} + \frac{\partial v}{\partial y} = 0 \quad (1)$$

$$u \frac{\partial u}{\partial x} + v \frac{\partial u}{\partial y} = - \frac{1}{\rho_{nf}} \frac{\partial p}{\partial x} + \frac{\mu_{nf}}{\rho_{nf}} \left( \frac{\partial^2 u}{\partial x^2} + \frac{\partial^2 u}{\partial y^2} \right) \quad (2)$$

$$u \frac{\partial v}{\partial x} + v \frac{\partial v}{\partial y} = - \frac{1}{\rho_{nf}} \frac{\partial p}{\partial y} + \frac{\mu_{nf}}{\rho_{nf}} \left( \frac{\partial^2 v}{\partial x^2} + \frac{\partial^2 v}{\partial y^2} \right) + \frac{(\rho\beta)_{nf}}{\rho_{nf}} g(T - T_c) \quad (3)$$

$$u \frac{\partial T}{\partial x} + v \frac{\partial T}{\partial y} = \alpha_{nf} \left( \frac{\partial^2 T}{\partial x^2} + \frac{\partial^2 T}{\partial y^2} \right) \quad (4)$$

تابع جریان از رابطه (۵) به دست می‌آید.

$$u = \frac{\partial \psi}{\partial y} \Rightarrow \psi(x, y) = \int u dy + \psi_0 \quad (5)$$

با کمک متغیرهای بی‌بعد (۶)، معادلات حاکم بی‌بعد (۷-۱۰) به دست می‌آیند.

$$X = \frac{x}{L}, \quad Y = \frac{y}{L}, \quad S = \frac{s}{L}, \quad U = \frac{uL}{\alpha_f}, \quad V = \frac{vL}{\alpha_f} \quad (6)$$

$$P = \frac{pL^2}{\rho_{nf} \alpha_f^2}, \quad \Psi = \frac{\psi}{\alpha_f}, \quad \theta = \frac{T - T_c}{T_h - T_c} \quad (6)$$

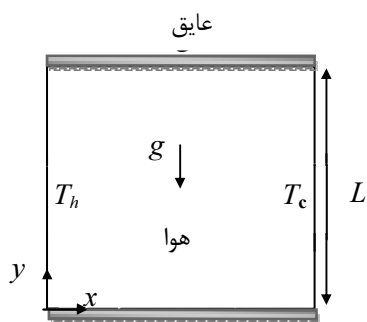
$$\frac{\partial U}{\partial X} + \frac{\partial V}{\partial Y} = 0 \quad (7)$$

$$U \frac{\partial U}{\partial X} + V \frac{\partial U}{\partial Y} = - \frac{\partial P}{\partial X} + \frac{v_{nf}}{\alpha_f} \left( \frac{\partial^2 U}{\partial X^2} + \frac{\partial^2 U}{\partial Y^2} \right) \quad (8)$$

شده است. نتایج از تطابق مناسبی برخوردارند.

### ۲-۳- استقلال نتایج از شبکه

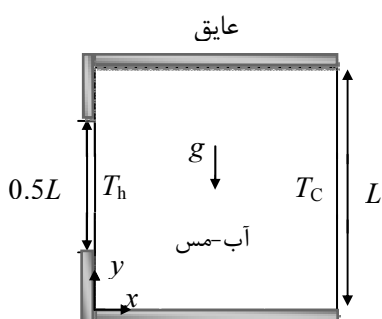
به منظور یافتن شبکه مناسب که منجر به نتایج مستقل از شبکه شود، عدد ناسلت متوسط برای نانوسیال آب-اکسیدآلومینیم با شبکه‌ای با تعداد نقاط مختلف یعنی  $31 \times 31$ ،  $51 \times 51$ ،  $71 \times 71$ ،  $91 \times 91$  و  $111 \times 111$  به دست آمده و در جدول ۴ مقایسه شده‌اند. با توجه به مقادیر ناسلت متوسط مشاهده می‌شود که شبکه با شبکه  $91 \times 91$  مناسب است.



شکل ۲ نمای شماتیک و شرایط مرزی در حفره‌ای پر شده با هوای [۶]

جدول ۲ عدد ناسلت متوسط برای جابجایی آزاد هوای در هندسه شکل ۲ مقایسه بین نتایج حاضر و نتایج دیگران

	$Ra=10^6$	$Ra=10^5$	$Ra=10^4$	$Ra=10^3$
کار حاضر	۴/۵۳۷	۲/۲۴۷	۱/۱۱۸	
باراکس [۱۸]	۴/۵۱۰	۲/۲۴۵	۱/۱۱۴	
دیویس [۱۹]	۴/۵۱۹	۲/۲۴۳	۱/۱۱۸	
فاسقی [۲۰]	۴/۶۴۶	۲/۳۰۲	۱/۱۰۵	
خانافر [۶]	۴/۵۲۲	۲/۲۴۵	۱/۱۱۸	
پریکلیوس و مارکاتس [۲۱]	۴/۴۳۰	۲/۲۰۱	۱/۱۰۸	
پریکلیوس و مارکاتس [۲۱]	۴/۴۳۰	۲/۲۰۱	۱/۱۰۸	



شکل ۳ نمای شماتیک و شرایط مرزی در حفره‌ای پر شده نانوسیال آب-مس [۸]

با قرار دادن رابطه‌های (۲۰) و (۲۲) در رابطه (۲۱) عدد ناسلت به صورت رابطه (۲۳) محاسبه می‌شود.

$$Nu = -\frac{k_{nf} \partial \theta}{k_f \partial n} \Big|_{wall} \quad (23)$$

عدد ناسلت متوسط روی سطح منبع حرارتی با کمک رابطه (۲۴) بدست می‌آید.

$$Nu_{avg} = \frac{I}{4 \times AR} \int_{\text{on heat source walls}} Nu dS \quad (24)$$

### ۳- شبیه‌سازی عددی

معادلات حاکم به کمک روش حجم محدود و الگوریتم سیمپلر به صورت عددی حل شدند. ابتدا شبکه‌ای یکنواخت و مناسب بر میدان حل منطبق می‌شود و سپس حول هر گره، حجم کنترلی ایجاد می‌شود و از معادلات حاکم روی هر حجم کنترل انتگرال‌گیری شده و معادلات منفصل شده و دستگاهی از معادلات جبری به دست می‌آید. برای جملات پخش از طرح تفاضل مرکزی مرتبه دوم استفاده می‌شود و برای جملات جابه‌جایی روش پیوندی (هیبرید) بکار می‌رود. در این روش برای اعداد پکلت کوچک‌تر از ۲، از طرح تفاضل مرکزی و در اعداد پکلت بزرگ‌تر از ۲ از طرح جریان بالادست استفاده می‌شود. برای دستیابی به همگرایی از ضرایب زیرتخفیف که برای مؤلفه‌های سرعت  $0/5$  و برای دما  $0/7$  می‌باشد استفاده شده است.

### ۳- اعتبارسنجی برنامه

به منظور اعتبارسنجی نتایج برنامه کامپیوتی تهیه شده، دو شبیه‌سازی عددی انجام و نتایج حاصل از آن با نتایج ارائه شده در مقالات مقایسه می‌شود.

۱-۱-۳- در مسئله اول جابه‌جایی طبیعی در محفظه مربعی پرشده با هوای ( $Pr=0/72$ ) مطابق هندسه شکل ۲ شبیه‌سازی شده و نتایج حاصل با نتایج دیگران در جدول ۲ مقایسه شده است.

۱-۲-۳- در مسئله دوم جابه‌جایی طبیعی در محفظه مربعی پرشده با نانوسیال آب-مس مطابق هندسه شکل ۳ شبیه‌سازی شده است. نتایج حاصل از کار حاضر با نتایج ازتب و ابوندا [۸] برای رایلی‌ها و کسر حجمی‌های مختلف در جدول ۳ مقایسه

آلومینیم و آب-اکسید تیتانیوم به ازای اعداد رایلی  $10^3$ ,  $10^4$ ,  $10^5$  و  $10^6$ , کسر حجمی‌های  $0.01$ ,  $0.02$ ,  $0.03$ ,  $0.04$ ,  $0.05$  و سه نسبت منظری  $0.01$ ,  $0.02$ ,  $0.03$ ,  $0.04$ ,  $0.05$  در شکل‌های ۴ و ۵ خطوط جریان و خطوط همدما آب و نانوسیال آب-نقره برای اعداد رایلی  $(10^3 \text{ تا } 10^6)$  و نسبت‌های منظری  $(0.01 \text{ تا } 0.05)$  و  $(0.01 \text{ تا } 0.05)$  در کسر حجمی  $0.05$  آورده شده است. همچنین در جدول ۵ مقادیر بیشینه قدرمطلق تابع جریان ( $\Psi_{\max}$ ) ارائه شده است. همان‌طور که در جدول ۵ مشاهده می‌شود، دریک عدد رایلی ثابت با افزایش نسبت منظری قدرت جریان کاهش می‌یابد. بیشترین کاهش قدرت جریان، در  $Ra=10^5$  از نسبت منظری  $0.05$  به  $0.08$  و کمترین کاهش قدرت جریان در  $Ra=10^6$  از نسبت منظری  $0.02$  به  $0.05$  روی می‌دهد که به ترتیب برابر  $92/95$  و  $25/95$  درصد می‌باشد. در یک نسبت منظری ثابت با افزایش عدد رایلی قدرت جریان به میزان قابل توجهی افزایش می‌یابد. با توجه به شکل ۴ در رایلی  $10^3$  گردابه‌های ضعیفی در دو طرف منبع حرارتی در امتداد دیوارهای عمودی شکل می‌گیرند. همان‌طور که در شکل ۵ مشاهده می‌شود، در رایلی  $10^3$  در تمامی نسبت‌های منظری، خطوط دمایی انحنای کمی دارند که نشان از غالب بودن انتقال حرارت هدایتی می‌باشد. از طرفی با افزایش نسبت منظری خطوط همدما فشرده‌تر شده و انتقال حرارت افزایش می‌یابد.

در یک نسبت منظری ثابت با افزایش عدد رایلی مرکز گردابه‌های جریان به طرف بالای محفظه متمایل شده و قدرت آنها افزایش می‌یابد و حجم بیشتری از جریان در بالای محفظه وجود دارد. در اعداد رایلی  $10^5$  و  $10^6$  در فضای بالای بین محفظه و منبع حرارتی گردابه‌های ثانویه نیز به وجود می‌آیند.

**جدول ۵** مقادیر ماکزیمم قدرمطلق تابع جریان در اعداد رایلی و نسبت‌های منظری مختلف برای نانوسیال آب-نقره در

$AR=0.05$	$AR=0.1$	$AR=0.5$	$AR=0.2$	Ra
$0.0027$	$0.0380$	$0.1315$	$10^3$	
$0.0270$	$0.3794$	$1/3703$	$10^4$	
$0.2683$	$3/8065$	$9/5808$	$10^5$	
$2/6876$	$18/2559$	$24/6560$	$10^6$	

همچنین در یک نسبت منظری ثابت با افزایش عدد رایلی، انحنای خطوط همدما افزایش یافته و تمایل این خطوط به

جدول ۳ عدد ناسلت متوسط در محفظه پر شده با نانوسیال آب-مس، و مقایسه با نتایج حاصل شده از ازتب و ابوندا [۸]

ازتب و ابوندا [۸]	کار حاضر	$\varphi$	Ra
$1/004$	$1/008$	$0/00$	
$1/122$	$1/119$	$0/5$	
$1/251$	$1/253$	$0/10$	$10^3$
$1/423$	$1/413$	$0/15$	
$1/627$	$1/600$	$0/20$	
$2/010$	$1/996$	$0/00$	
$2/122$	$2/097$	$0/05$	
$2/203$	$2/188$	$0/10$	$10^4$
$2/283$	$2/267$	$0/15$	
$2/363$	$2/340$	$0/20$	
$3/983$	$3/993$	$0/00$	
$4/271$	$4/234$	$0/05$	
$4/440$	$4/459$	$0/10$	$10^5$
$4/662$	$4/668$	$0/15$	
$4/875$	$4/861$	$0/20$	

جدول ۴ عدد ناسلت متوسط روی منبع حرارتی برای نانوسیال آب-اکسید آلومینیم  $\varphi=0.01$  و  $Ra=10^6$  با شبکه‌های مختلف

Nu <sub>ave</sub>	تعداد نقاط
$4/90$	$31 \times 31$
$5/74$	$51 \times 51$
$6/07$	$71 \times 71$
$6/10$	$91 \times 91$
$6/12$	$111 \times 111$

معیار همگرایی برای فشار، سرعت و دما از رابطه (۲۵) حاصل می‌شود که در آن  $M$  و  $N$  تعداد نقاط شبکه در جهت  $x$  و  $y$  بوده و  $\epsilon$  معرف متغیری است که حل می‌شود.  $k$  تعداد تکرار و حداقل میزان خطای  $10^{-4}$  می‌باشد.

$$\frac{\sum_{i=1}^M \sum_{j=1}^N |\zeta_{i,j}^{k+1} - \zeta_{i,j}^k|}{\sum_{i=1}^M \sum_{j=1}^N |\zeta_{i,j}^{k+1}|} \leq 10^{-6} \quad (25)$$

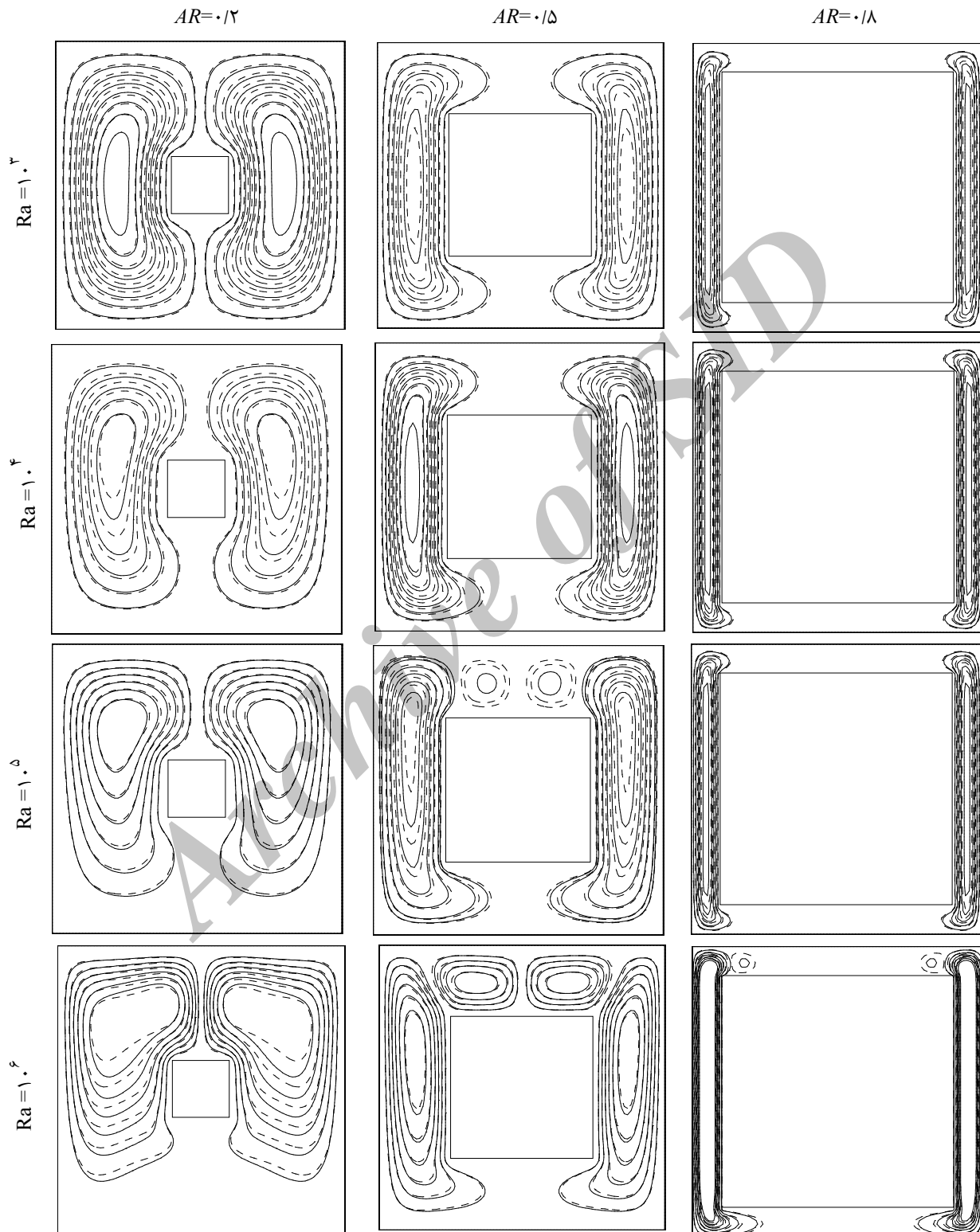
#### ۴- نتایج و بحث

##### ۴-۱- بررسی میدان جریان و دما

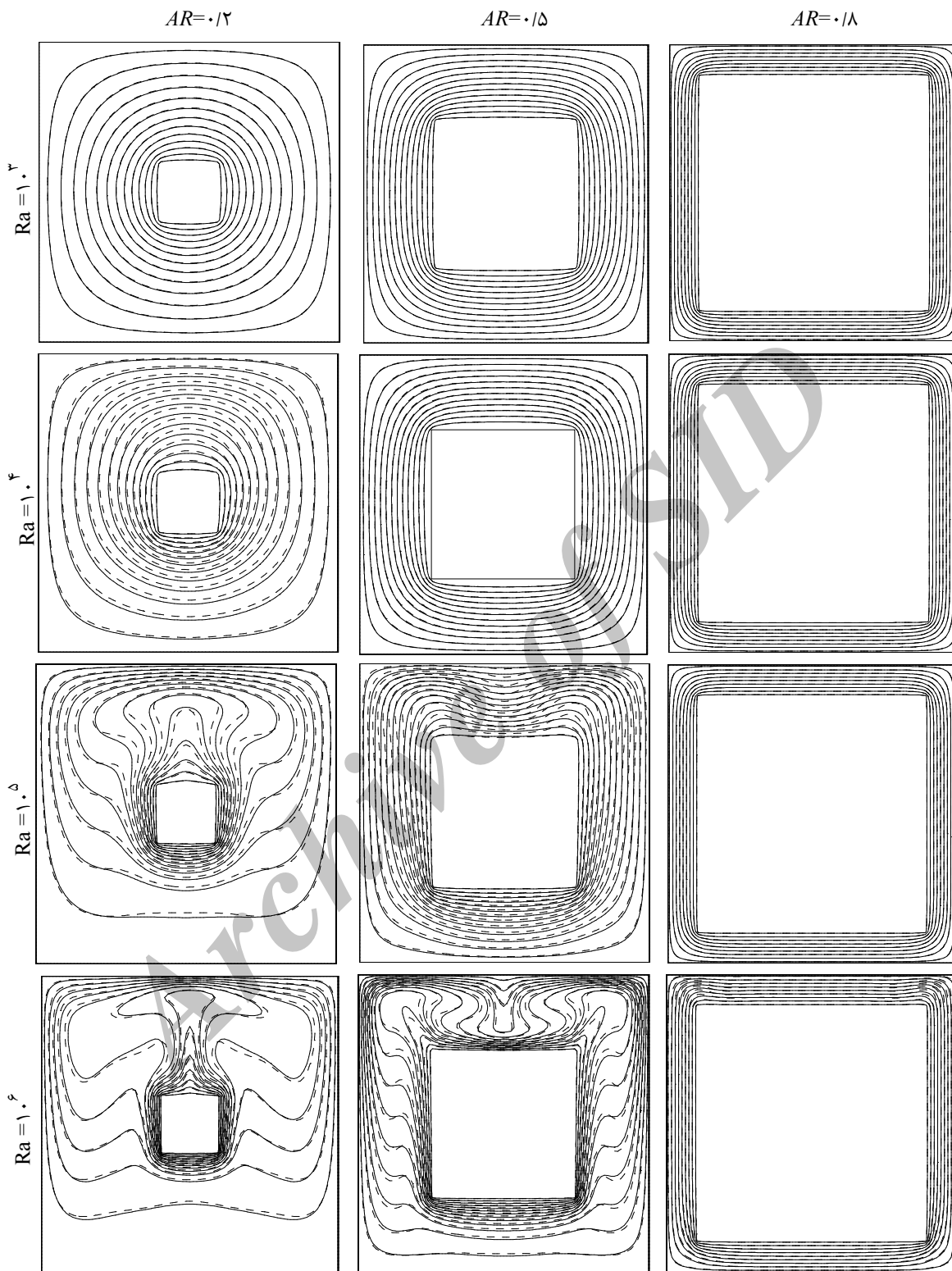
با کمک برنامه کامپیوتری تهیه شده، میدان جریان و دما در جابه‌جایی طبیعی اطراف منبع حرارتی داخل محفظه برای نانوسیال‌های آب-مس، آب-اکسید مس، آب-نقره، آب-اکسید

قبرعلی شیخزاده و همکاران  
است. همچنین تراکم خطوط هم‌دما در اطراف منبع حرارتی با افزایش عدد رایلی در نسبت منظری ثابت روی می‌دهد.

طرف بالای محفظه بیشتر می‌باشد که این مطلب نشان‌دهنده غلبه انتقال حرارت جابجایی طبیعی، بر انتقال حرارت هدایتی



شکل ۴ خطوط جریان آب (—) و نانوسیال آب-نقره (—) در اعداد رایلی و نسبت‌های منظری مختلف



شکل ۵ خطوط همدما آب (- -) و نانوسیال آب-نقره (—) در اعداد رایلی و نسبت‌های منظری مختلف

دما در کنار دیوارهای به خصوص نزدیک منبع حرارتی از ویژگی‌های جریان در  $Ra=10^6$  می‌باشد.

در رایلی  $10^6$ ، گردابهای قوی‌تر شده و در بالای منبع حرارتی نیز گردابهایی متقارن شکل می‌گیرد. تراکم خطوط

نوع نانوذرات، می‌توان روابطی برای عدد ناسلت در هر سه نسبت منظری برحسب سایر متغیرها ارائه کرد.

رابطه بین عدد ناسلت با کسر حجمی و عدد رایلی برای

نسبت منظری  $1/2$  به صورت رابطه (۲۶) فرض می‌شود.

$$Nu_{avg} = (a \times \varphi) + (b \times Ra^{0.6}) + c \quad (26)$$

و برای نسبت‌های منظری  $1/5$  و  $1/8$  به صورت رابطه (۲۷) می‌باشد.

$$Nu_{avg} = (a \times \varphi) + (b \times Ra^{1.3}) + c \quad (27)$$

ضرایب  $a$ ,  $b$  و  $c$  برای نانوذرات مختلف و برای هر سه نسبت منظری در جدول‌های ۶ تا ۸ آورده شده است. لازم به ذکر است که روابط ارائه شده برای  $10^6 \leq Ra \leq 10^3$  و  $0.1/5 \leq \varphi \leq 0.1/0$  می‌باشند.

جدول ۶ ضرایب رابطه ناسلت متوسط برای نانوذرات مختلف در

$$AR=0.2 \quad (R^2=0.984)$$

$c$	$b \times 10^{-2}$	$a$	نوع نانوذره
۴/۸۶۲	۰/۲۰۹۵	۱۴/۸۱	Ag
۴/۸۵۹۶	۰/۲۰۹۸	۱۳/۴۸	$Al_2O_3$
۴/۸۵۶۲	۰/۲۱۰۰	۱۴/۸۸	Cu
۴/۸۵۵۸	۰/۲۱۰۰	۱۴/۶۱	$CuO$
۴/۸۷۲۱	۰/۲۰۸۷	۱۱/۰۸	$TiO_2$

جدول ۷ ضرایب رابطه ناسلت متوسط برای نانوذرات مختلف در

$$AR=0.5 \quad (R^2=0.999)$$

$c$	$b \times 10^{-7}$	$a$	نوع نانوذره
۴/۹۵۴	۱/۱۷۵۴	۱۴/۱۲۲	Ag
۴/۹۶۶	۱/۱۵۸۴	۱۱/۸۹	$Al_2O_3$
۴/۹۳۸	۱/۱۷۴۸	۱۴/۲۰۸	Cu
۴/۹۴۸	۱/۱۶۸۸	۱۳/۵۱۸	$CuO$
۴/۹۷۶	۱/۱۵۳۴	۹/۹۳	$TiO_2$

جدول ۸ ضرایب رابطه ناسلت متوسط برای نانوذرات مختلف در

$$AR=0.8 \quad (R^2=0.999)$$

$c$	$b \times 10^{-9}$	$a$	نوع نانوذره
۱۰/۰۱۴	۰/۹۵۴۸	۳۰/۹۴	Ag
۱۰/۰۱۶	۰/۶۵۶۴	۲۹/۳۵	$Al_2O_3$
۱۰/۰۱۵	۰/۷۸۴۹	۳۱/۶۱	Cu
۱۰/۰۱۸	۰/۹۲۷۸	۳۰/۱۹	$CuO$
۱۰/۰۲۳	۰/۸۲۱۵	۲۵/۱۹	$TiO_2$

در رایلی ثابت با افزایش  $AR$  حجم سیال موجود در فضای بین منبع و محفظه کاهش یافته و در نتیجه قدرت جریان به وجود آمده کاهش می‌یابد.

در  $AR=0/2$  با افزایش عدد رایلی ضمن قوی‌تر شدن گردابه‌ها، مرکز آنها نیز به سمت بالای منبع گرم منتقل می‌شود. در  $AR=0/5$  با افزایش عدد رایلی، گردابه‌های ثانویه شکل می‌گیرد. اما در  $AR=0/8$  به جز در رایلی  $10^6$  که گردابه‌های ثانویه در بالای منبع گرم شکل می‌گیرد در دیگر اعداد رایلی به دلیل قدرت کمتر جریان و زیاد بودن ابعاد منبع حرارتی گردابه‌های ثانویه در فضای بالای منبع گرم ایجاد نمی‌شود. موازی بودن خطوط دما ثابت در  $Ra=10^3$  غالب بودن انتقال حرارت هدایتی را تایید می‌کند، در حالی که انحنای خطوط دما ثابت در  $Ra=10^6$  به دلیل قوی‌تر شدن گردابه‌های اولیه و شکل‌گیری گردابه‌های ثانویه در بالای منبع حرارتی، بیانگر غالب بودن انتقال حرارت جابجایی می‌باشد.

#### ۲-۴- بررسی ضریب انتقال حرارت

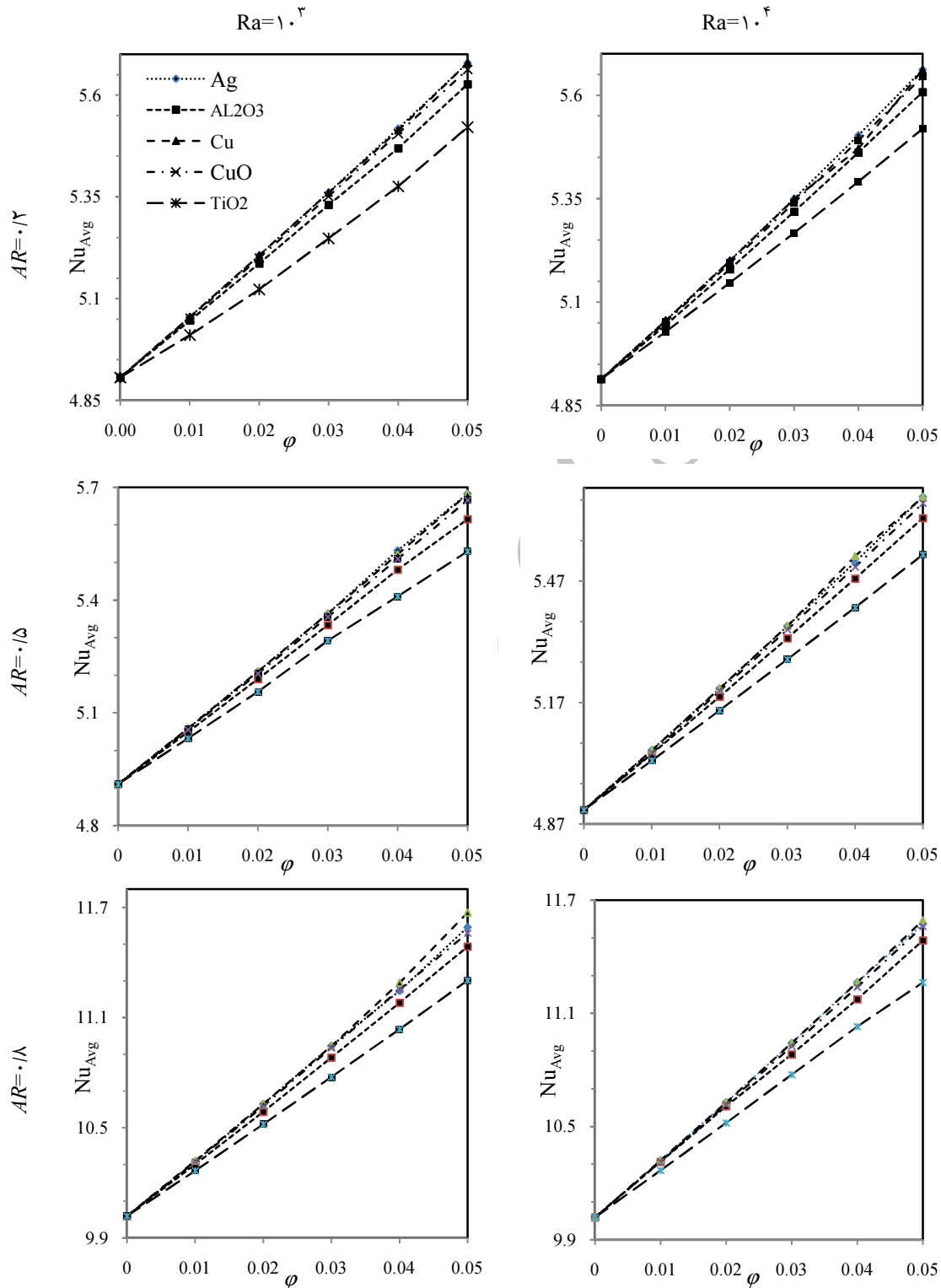
در شکل ۶ عدد ناسلت بر حسب کسر حجمی برای رایلی‌های مختلف ( $10^6$  تا  $10^0$ ) و مقادیر مختلف نسبت منظری  $(0/2$  و  $0/5$  و  $0/8)$  رسم شده است. همان‌طور که مشاهده می‌شود، عدد ناسلت متوسط برای همه نانوسيال‌ها نسبت به کسر حجمی روندی افزایشی دارد. در بین نانوسيال‌های مورد استفاده همواره آب-اکسید تیتانیوم کمترین عدد ناسلت و آب-نقره بیشترین مقدار عدد ناسلت را دارا می‌باشد. هر چند که رفتار نانوسيال‌ها با نانوذرات مس و نقره بسیار شبیه به هم می‌باشند. در  $AR=10^6$  تفاوت محسوس‌تری بین عدد ناسلت نانوسيال‌های آب-نقره و آب-مس با دیگر نانوسيال‌ها وجود دارد. ضمناً با افزایش عدد رایلی از  $10^0$  به  $10^6$ ، افزایش قابل توجهی در عدد ناسلت روی می‌دهد که بیانگر غالب شدن رژیم انتقال حرارت جابجایی طبیعی بر انتقال حرارت هدایتی است. با افزایش نسبت منظری، مقدار عدد ناسلت و همچنین تغییرات آن بر حسب کسر حجمی نانوذرات افزایش می‌یابد که این به دلیل کاهش فاصله‌ی بین منبع حرارتی و دیواره محفظه است.

#### ۳-۴- ارائه روابطی برای پیش‌بینی عدد ناسلت

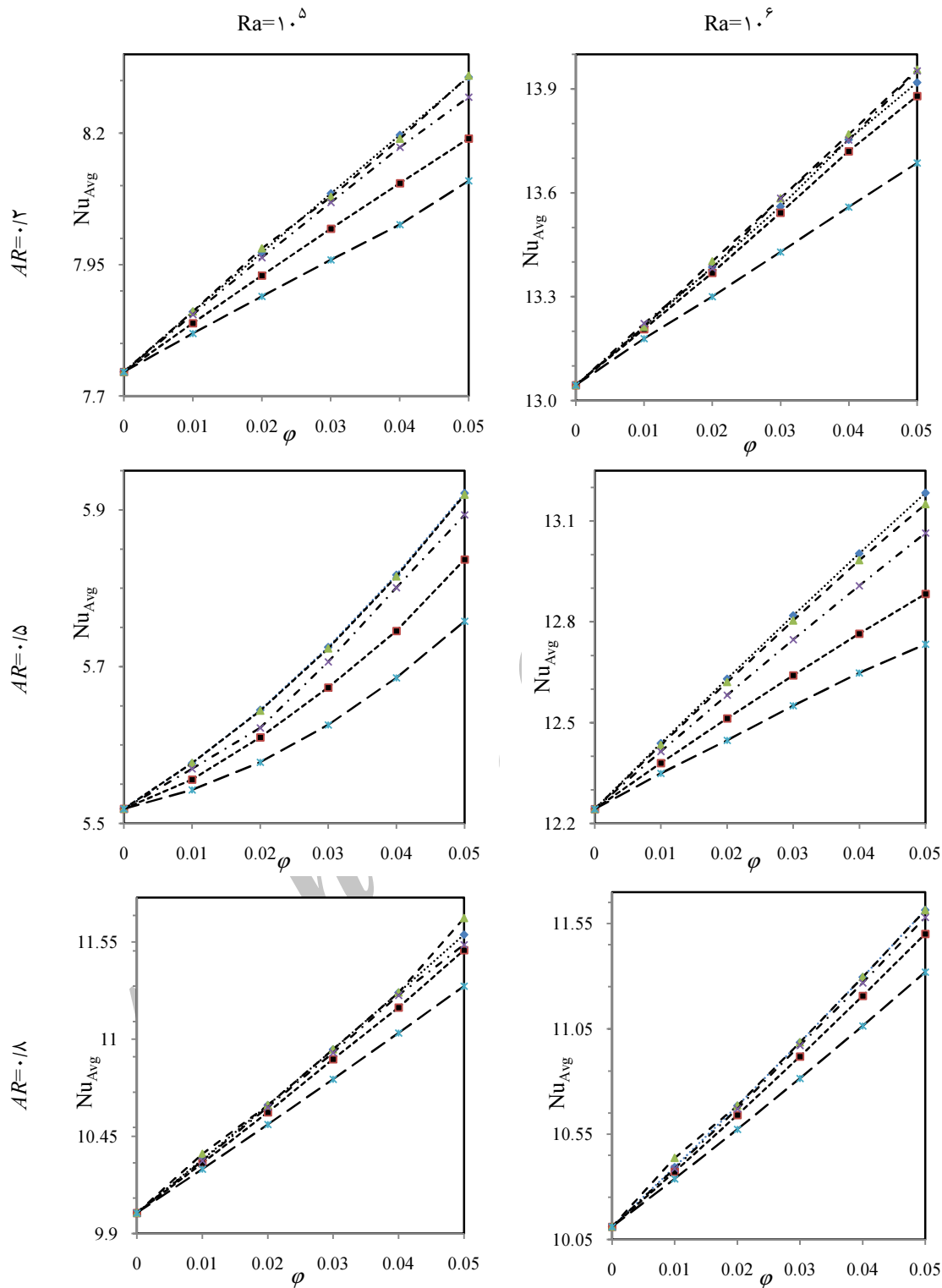
با توجه به مقادیر به دست آمده برای عدد ناسلت در مقادیر مختلف اعداد رایلی، نسبت منظری، کسر حجمی نانوذرات و

همان‌طور که از مقادیر  $R^2$  مشخص است، روابط ارائه شده از دقت بسیار خوبی برخوردار هستند.

در این جداول منظور از  $R^2$ ، ضریب همبستگی بین مقادیر عددی و مقادیر پیش‌بینی شده با روابط ارائه شده می‌باشد.



شکل ۶ عدد ناسلت متوسط بر حسب کسر حجمی در اعداد رایلی و نسبت‌های منظری مختلف



ادامه شکل ۶ عدد ناسلت متوسط بر حسب کسر حجمی در اعداد رایلی و نسبت‌های منظری مختلف

مختلف در فضای بین محفظه و منبع حرارتی، به صورت عددی (با روش حجم محدود و الگوریتم سیمپلر) مورد مطالعه قرار گرفت و روابطی همبسته برای عدد ناسلت متوسط ارائه شد.

## ۵- نتیجه‌گیری

در این مقاله، جابجایی طبیعی نانوسیالات مختلف در چندین عدد رایلی و کسر حجمی نانوذرات در نسبت‌های منظری

عدد رایلی	Ra
طول طی شده روی منبع گرم در راستاهای x و y	s
طول بی بعد طی شده روی منبع گرم	S
(دما) (K)	T
مولفه‌های سرعت ( $ms^{-1}$ )	u, v
مولفه‌های بی بعدسرعت	U, V
مولفه‌های مختصات (m)	x, y
مولفه‌های مختصات بی بعد	X, Y
علایم یونانی:	
ضریب پخش حرارتی ( $m^2 s^{-1}$ )	$\alpha$
ضریب انبساط حرارتی ( $K^{-1}$ )	$\beta$
لزجت ( $kg m^{-2} s^{-1}$ )	$\mu$
لزجت سینماتیکی ( $m^2 s^{-1}$ )	$\nu$
تابع جریان ( $m^2 s^{-1}$ )	$\psi$
تابع جریان بی بعد	$\Psi$
دمای بی بعد	$\theta$
چگالی ( $kg m^{-3}$ )	$\rho$
کسر حجمی نانوذرات	$\varphi$
زیرنویس‌ها:	
متوسط	avg
سرد	c
سیال	f
گرم	h
نانوسيال	nf
ذره	p

## ۷- تقدير و تشكر

نويسندگان از پژوهشکده انرژی و معاونت پژوهشی دانشگاه کاشان به سبب حمایت مالی از اين تحقیق (قرارداد شماره ۹۲/۴۹۷) تشکر می نمایند.

## ۸- مراجع

- [1] Choi S. U. S., Eastman J. A., "Enhancing thermal conductivity of fluids with nanoparticles", *International Mechanical Engineering Congress and Exhibition*, San Francisco, Calif, USA, 1995.
- [2] Das S.K., Putra N., Thiesen P., Roetzd W., "Temperature dependence of thermal conductivity

خطوط همدما و خطوط جريان، برای جابجایی طبیعی آب و نانوسيال آب-نقره (در كسر حجمی  $0.05/0$ ) در همه نسبت‌های منظری و اعداد رایلی به عنوان نمونه ارائه شد. همچنین نمودار تغیيرات عدد ناسلت بر حسب كسر حجمی نانوذرات نيز در همه نسبت‌های منظری و اعداد رایلی ارائه شد.

بر اساس اين مطالعه عددی، در همه نانوسيال‌های مورد بررسی با افزایش كسر حجمی و عدد رایلی عدد ناسلت افزایش می‌يابد و در اين مورد نانوذرات نقره و مس تأثير بیشتری در افزایش عدد ناسلت دارند. كه ناشی از ضریب هدایت حرارتی بالاتر آنها می‌باشد. در رایلی‌های پایین ( $10^3$  و  $10^4$ ) به جز نانوسيال آب-اکسیدتیتانیوم که مقدار ناسلت آن کمتر از دیگر نانوسيال‌ها می‌باشد مابقی رفتاری تقریباً مشابه دارند. ولی در رایلی  $10^6$  تفاوت محسوس‌تری در عدد ناسلت نانوسيال آب-نقره و آب-مس، با نانوسيال آب-اکسید تیتانیوم وجود دارد. اين تفاوت برای نانوسيال‌های آب-اکسید الومینیم و آب-اکسید مس کمتر است. با افزایش نسبت منظری مقدار عدد ناسلت در همه رایلی‌ها و برای همه كسر حجمی‌ها افزایش می‌يابد.

بر اساس نتایج عددی، روابط همبسته برای پیش‌بینی عدد ناسلت متوسط بر حسب عدد رایلی و كسر حجمی نانوذرات، برای نانوذرات مختلف و مقادیر مختلف نسبت منظری محفظه ارائه شد که از دقت بسیار خوبی برخوردار هستند.

## ۶- فهرست علایم

نسبت منظری	AR
ظرفیت گرمایی ویژه سیال ( $J kg^{-1} K^{-1}$ )	$c_p$
شتاب جاذبه ( $ms^{-2}$ )	g
اندازه محفظه داخلی (m)	l
اندازه محفظه خارجی (m)	L
هدایت حرارتی ( $W m^{-1} K^{-1}$ )	k
عدد ناسلت	Nu
جهت عمود بر سطح منبع گرم	n
فشار ( $kg m^{-1} s^{-2}$ )	p
فشار بی بعد	P
عدد پرانتل	Pr
ضریب همبستگی	$R^2$

- Communications in Heat and Mass Transfer*, Vol. 35, No. 5, 2008, pp. 657-665.
- [12] Arefmanesh A., Amini M., Mahmoodi M., Najafi M., "Buoyancy-driven heat transfer analysis in two-square duct annuli filled with a nanofluid", *European Journal of Mechanics B/Fluids*, Vol. 33, No. 1, 2012, pp. 95-104.
- [13] Sheikhzadeh G.A., Arefmanesh A., Kheirkhah M.H., Abdollahi R., "Natural convection of Cu-water nanofluid in a cavity with partially active side walls", *European Journal of Mechanics B/Fluids*, Vol. 30, No. 2, 2011, pp. 166-176.
- [14] Mansour R.B., Galanis N., Nguyen C.T., "Experimental study of mixed convection with water-Al<sub>2</sub>O<sub>3</sub> nanofluid in inclined tube with uniform wall heat flux", *International Journal of Thermal Sciences*, Vol. 50, No. 3, 2011, pp. 403-410.
- [15] Bejan A., *Convection Heat Transfer*, John Wiley & Sons, Inc., Hoboken, New Jersey, USA, 2004.
- [16] Brinkman H.C., "The viscosity of concentrated suspensions and solution", *Journal of Chemical Physics*, Vol. 20, No. 4, 1952, pp. 571-581.
- [17] Maxwell-Garnett, J.C. () "Colours in metal glasses and in metallic films", *Philos. Trans. Roy. Soc. Vol. 20*, No. 3, 1904, pp. 385-420.
- [18] Barakos G., Mitsoulis E., "Natural convection flow in a square cavity revisited: laminar and turbulent models with wall fraction", *International Journal for Numerical Methods in Fluids*. Vol. 18, No. 7, 1994, pp. 695-719.
- [19] Davis G.V., "Natural convection of air in a square cavity, a benchmark numerical solution", *International Journal for Numerical Methods in Fluids*. Vol. 3, No. 3, 1983, pp. 249-264.
- [20] Fusegi T., Hyun J.M., Kawahara K., Farouk B., "A Numerical study of three-dimensional natural convection in a differentially heated cubical enclosure", *International Journal of Heat and Mass Transfer*, Vol. 34, No. 6, 1991, pp. 1543-1557.
- [21] Pericleous K.A., Markatos N.C., "Laminar and turbulent natural convection an enclosed cavity", *International Journal of Heat and Mass Transfer*, Vol. 27, No. 5, 1984, pp. 772-775.
- enhancement for nanofluids", *Journal of Heat Transfer*, Vol. 125, No. 4, 2003, pp. 567-574.
- [3] Jahanshahi M., Hosseini-zadeh SF., Alipanah M., Dehghani A., Vakilinajad GR., "Numerical, Simulation of free convection based on experimental measured conductivity in a square cavity using water/SiO<sub>2</sub> nanofluid", *International Communications in Heat and Mass Transfer*, Vol. 37, No. 6, 2010, pp. 687-694.
- [4] Saleh H., Roslan R., Hashim I., "Natural convection heat transfer in a nanofluid-filled trapezoidal enclosure", *International Journal of Thermal Science*, Vol. 54, No. 3, 2011, pp. 194-201.
- [5] Ogut E.B., "Natural convection of water-based nanofluids in an inclined enclosure with a heat source", *International Journal of Thermal Sciences*, Vol. 48, No. 11, 2009, pp. 2063-2073.
- [6] Khanafer K., Vafai K., Lightstone M., "Buoyancy-driven heat transfer enhancement in a two dimensional enclosure utilizing nanofluids", *International Journal of Heat and Mass Transfer*, Vol. 46, No. 19, 2003, pp. 3639-3653.
- [7] Ho CJ, Chen MW, Li ZW., "Numerical simulation of natural convection of nanofluid in a square enclosure: effects due to uncertainties of viscosity and thermal conductivity", *International Journal of Heat and Mass Transfer*, Vol. 51, No. 18, 2008, pp. 4506-4516.
- [8] Oztop H., Abu-Nada E., "Numerical study of natural convection in partially heated rectangular enclosures filled with nanofluids", *International Journal of Heat Fluid Flow*, Vol. 29, No. 5, 2008, pp. 1326-1336.
- [9] Mahmoodi M., Hashemi S.S., "Numerical study of natural convection of a nanofluid in C-shaped enclosures", *International Journal of Thermal Sciences*, Vol. 55, No. 1, 2012, pp. 76-89.
- [10] Aminossadati SM, Ghasemi B. "Natural convection of water-CuO nanofluid in a cavity with two pairs of heat source-sink", *International Communications in Heat and Mass Transfer*, Vol. 38, No. 5, 2011, pp. 672-678.
- [11] Abu-Nada E., Masoud Z., Hijazi A., "Natural convection heat transfer enhancement in horizontal concentric annuli using nanofluids", *International*